

LEP/SLC 能区 Bhabha 散射的计算 和事例产生*

叶竞波 马文淦 张子平 许容宗 戴青海

(中国科技大学近代物理系, 合肥)

摘要

给出 LEP/SLC 能区 Bhabha 散射的电磁辐射修正, 包括精确的单圈图结果和共线硬光子效应的数值计算和事例产生。

一、引言

只有当 QED 辐射修正控制在 $\leq 1\%$ 的精度时, LEP/SLC 能区的 e^+e^- 湮灭才能为标准弱电模型提供精确的检验^[1], 所以在 Bhabha 散射计算中必须适当地计入高阶修正。Bhabha 散射还因其被用作束流亮度测量的参考过程而在 e^+e^- 对撞机中有着显著的重要性, 因而也被广泛地讨论: 1935 年 Bhabha 首次在量子电动力学的框架下对 e^+e^- 弹性散射截面作了计算^[2]。Readhead 和以后的其他作者对电磁辐射修正作了计算^[3,4]。文献[5]在标准模型下对最低阶的弱修正贡献进行了讨论。文献[6]在 extended gauge 模型下对多于一个 Z_0 的效应进行了讨论。Consoli 在标准模型下对单圈图修正进行了计算(无共振效应)^[7]。

Berends 在 1983 年报道了一个 DESY 能区的 Bhabha 散射数值计算和事例产生程序^[8], 但至今我们没有看到适合于 LEP 能区的 Bhabha 散射数值计算和事例产生的报道。本文的目的在于介绍一个基于文献 [1] 所作的 LEP/SLC 能区的事例产生程序 BHABHAZ, 对此能区的 Bhabha 散射行为做细致的讨论, 得出精确的数值结果以指导实验。文章第二部分简略地给出 Bhabha 散射截面计算式, 第三部分介绍 Bhabha 散射事例产生程序, 最后给出一些数值结果。

二、LEP/SLC 能区 Bhabha 散射截面计算^[1]

在满足条件: (1) e^+e^- 在相反方向非共线角 $\leq 5^\circ$ 的情况下探测; (2) 在该方向上放置的角分辨率 δ 很小的电磁量能器不区分(正、负)电子和共线硬光子时, Greco 在文献

* 国家自然科学基金资助的课题。

本文 1989 年 1 月 20 日收到。

[1] 中给出一个包括完整的 QED 辐射修正, 单圈图的精确结果, 记入 Z_0 效应, 考虑实验上适用的硬光子效应(非共线角 $<5^\circ$)的完全解析的截面计算式 (Feynman 图见图 1):

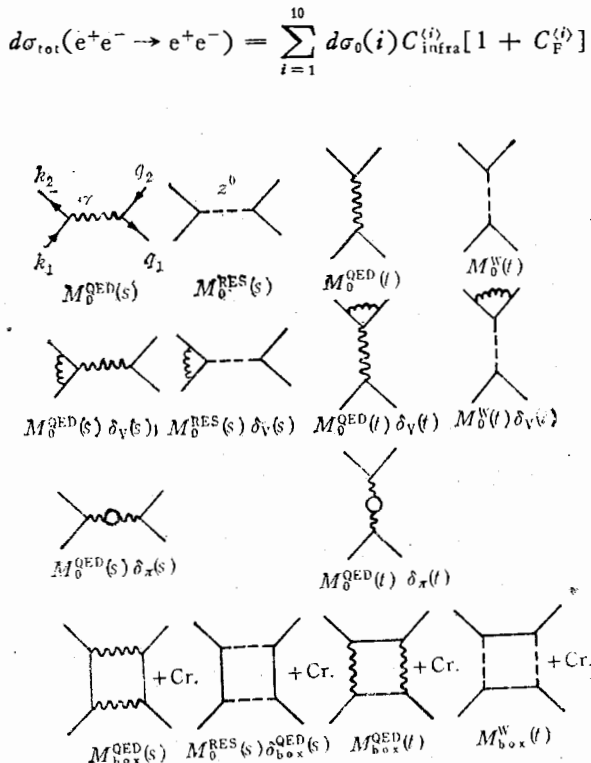


图 1 Bhabha 散射 Feynman 图

其中 $C_{\text{infra}}^{(i)}$ 和 $C_F^{(i)}$ 为各修正项, $d\sigma_0(i)$ 为最低阶截面^[9]:

$$\begin{aligned}
 d\sigma_0(1) &= (\alpha^2/4s)(1+z^2) = d\sigma_0[\gamma(s), \gamma(s)] \\
 d\sigma_0(2) &= -(\alpha^2/4s)2(1+z)^2/(1-z) = d\sigma_0[\gamma(s), \gamma(t)] \\
 d\sigma_0(3) &= (\alpha^2/4s)[2/(1-z)^2][(1+z)^2 + 4] = d\sigma_0[\gamma(t), \gamma(t)] \\
 d\sigma_0(4) &= -(\alpha^2/4s)2R'(t)(1+z)^2(f_v^2 + f_A^2) = d\sigma_0[\gamma(s), Z(t)] \\
 d\sigma_0(5) &= (\alpha^2/4s)[2/(1-z)]2R'(t)[(f_v^2 + f_A^2)(1+z)^2 \\
 &\quad + 4(f_v^2 - f_A^2)] = d\sigma_0[\gamma(t), Z(t)] \\
 d\sigma_0(6) &= (\alpha^2/4s)2R'^2(t)\{(1+z)^2[(f_v^2 + f_A^2)^2 + 4f_v^2 f_A^2] \\
 &\quad + 4[(f_v^2 + f_A^2)^2 - 4f_v^2 f_A^2]\} = d\sigma_0[Z(t), Z(t)] \\
 d\sigma_0(7) &= (\alpha^2/4s)2R'(s)[f_v^2(1+z^2) + f_A^2 2z] = d\sigma_0[Z(s), \gamma(s)] \\
 d\sigma_0(8) &= -(\alpha^2/4s)2R'(s)[(1+z)^2/(1-z)](f_v^2 + f_A^2) \\
 &= d\sigma_0[Z(s), \gamma(t)] \\
 d\sigma_0(9) &= -(\alpha^2/4s)R'(s)2R'(t)(1+z)^2[(f_v^2 + f_A^2)^2 + 4f_v^2 f_A^2] \\
 &= d\sigma_0[Z(s), Z(t)] \\
 d\sigma_0(10) &= (\alpha^2/4s)[R'^2(s) + I'^2(s)](f_v^2 + f_A^2)^2\{1+z^2
 \end{aligned}$$

$$+ [4f_v^2 f_A^2 / (f_v^2 + f_A^2)^2] 2z \} = d\sigma_0 [Z(s), Z(s)]$$

其中:

$$s = (k_1 + k_2)^2 = 4E_b^2, t = -\frac{1}{2}s(1 - \cos\theta), z = \cos\theta$$

$$R'(t) = \frac{1}{2}s/(M_Z^2 - t), R'(s) + iI'(s) = s/(s - M_Z^2 - iM_Z\Gamma)$$

$$f_v = (4 \sin^2 \theta_w - 1)/4 \sin \theta_w \cos \theta_w, f = -1/4 \sin \theta_w \cos \theta_w$$

θ_w 为弱作用混合角。 M_Z, Γ 分别为 Z_0 的质量和宽度。

考虑共线硬光子 ($k \geq \Delta E_b$, 非共线角 $< \delta$, δ 为实验的角分辨) 效应, 则微分截面为:^[10]

$$d\sigma_{tot}(e^+e^- \rightarrow e^+e^- r_{coll}) = \sum_{i=1}^{10} d\sigma_0(i) \tilde{C}_{infra}^{(i)} [1 + \tilde{C}_F^{(i)}]$$

其中:

$$\tilde{C}_{infra}^{(i)} = C_{infra}^{(i)} \cdot \Delta^{\beta_\delta - \beta_e}$$

$$\tilde{C}_F^{(i)} = C_F^{(i)} + \frac{3}{4}(\beta_\delta - \beta_e) + (2\alpha/\pi)\left(\frac{3}{2} - \frac{1}{3}\pi^2\right)$$

$$\beta_\delta = (4\alpha/\pi)\ln(2/\delta), \beta_e = (2\alpha/\pi)[\ln(s/m^2) - 1]$$

Δ 为实验的能量分辨。

三、LEP/SLC 能区 Bhabha 散射事例产生程序 BHABHAZ

按照上述 Bhabha 散射截面的理论计算公式, 设计了研究 Bhabha 散射数值特性和事例产生的蒙特卡洛程序 BHABHAZ。程序可分为四大部分, 第一大部分是总初始化, 它包括常数初始化、直方图初始化和读入程序运行的控制卡片。如果需要产生事例, 则初始化随机数产生器; 第二部分是截面计算, 在这一部分可以研究截面和各项修正的数值特性, 填相应的直方图; 第三部分是事例产生; 第四部分对直方图进行处理并输出到屏幕和一个文件里, 并给出最后一个随机数以备后用, 最后, 结束程序运行。

Bhabha 散射是一个主要向前散射的过程, 在质心系能量 100GeV 时, $[d\sigma(5^\circ)/dQ]/[d\sigma(175^\circ)/dQ] \sim 10^5$, 如果采用一般的舍选法抽样来产生事例, 可以估计抽样效率约为 3.3%, 这显然是很低的。由于微分截面除了向前散射峰外并无别的尖锐的峰, 分布曲线平滑, 而且由于微分截面解析可算, 所以, 在 BHABHAZ 的事例产生中选用了重要抽样技术。

重要抽样法产生事例的基本步骤为: 首先选择一个与精确微分截面表达式 $\frac{d\sigma}{dQ}$ 有相同的峰值结构的解析近似微分截面表达式 $\frac{d\sigma_a}{dQ}$, 按此函数作分布密度函数抽样产生事例, 并赋予该事例一个权重 W , 然后根据舍选法决定此权重事例的舍留, 最后得到无权重的随机事例。“无权重事例”定义为依照精确微分截面 $\frac{d\sigma}{dQ}$ 分布的事例; “权重事例”定义为依照近似微分截面 $\frac{d\sigma_a}{dQ}$ 分布的事例。在 BHABHAZ 中, 仿照 Berends 等人的作法:^[8]

首先选取 $\frac{d\sigma_a}{dQ} \approx (1 - \cos\theta)^{-2}$, 以此产生出射 e^+ 的 $\cos\theta$:

$$\cos\theta = 1 - \{(1 - \cos\theta_{\max})^{-1} + R[(1 - \cos\theta_{\min})^{-1} - (1 - \cos\theta_{\max})^{-1}]\}^{-1}$$

R 为 $[0,1]$ 之间均匀分布的随机数, $(\theta_{\max}, \theta_{\min})$ 为感兴趣的 θ 范围。由此产生的 $\frac{d\sigma_a}{dQ}$ 与 $\frac{d\sigma}{dQ}$ 有相似的峰结构。将 $\cos\theta$ 代入 $\frac{d\sigma}{dQ}(\cos\theta)$ 计算对应的微分截面 $\frac{d\sigma}{dQ}$,

$$W = \left(\frac{d\sigma}{dQ} \right) \cdot \left(\frac{d\sigma_a}{dQ} \right)^{-1}$$

注意到:

$$\frac{d\sigma_a}{dQ} \approx (1 - \cos\theta)^{-2}$$

则:

$$\begin{aligned} \sigma_a &= \int \frac{d\sigma_a}{dQ} dQ \\ &= 2\pi[(1 - \cos\theta_{\min})^{-1} - (1 - \cos\theta_{\max})^{-1}] \equiv 2\pi A \end{aligned}$$

这里记:

$$A = (1 - \cos\theta_{\min})^{-1} - (1 - \cos\theta_{\max})^{-1}$$

所以:

$$\frac{d\sigma_a}{dQ} \approx \sigma_a / 2\pi A (1 - \cos\theta)^2$$

于是:

$$W = 2\pi A (1 - \cos\theta)^2 \sigma_a^{-1} \cdot \frac{d\sigma}{dQ}$$

然后对 W 进行判选: 若 $W_{\max} \cdot R > W$, 则舍去, 否则, 则接收该事例。 W_{\max} 一般可以取为 $\cos\theta_{\min}$ 所对应的权重。在实际运行中发现多数情况下它确是最大权重, 此时程序运行控制卡片中的 W_{\max} 赋 0。当 $W_{\max} \neq \cos\theta_{\min}$ 对应的权重时 W_{\max} 可由程序运行控制卡片中读入。

出射电子的 ϕ 角在 $(0, 2\pi)$ 上均匀分布, 由抽样得出的 (θ, ϕ) 即可构造出射 e^+e^- 的四动量。

由重要抽样法产生事例, 在 $5^\circ - 175^\circ$ 时, 可得到 93% 的抽样效率, 比 3.3% 提高 28 倍多。如果只研究前向区, 比如 $1.5^\circ - 4^\circ$, 则效率可达 96%。这里效率定义为接收事例数与抽样数之比。

BHABHAZ 可以在使用者感兴趣的能下和角度范围内产生事例, 并给出 $\frac{d\sigma}{dQ}$ 和 σ 的基本特性。

四、结果与讨论

图 2 是 Bhabha 散射质心系能量 100GeV 时的微分截面随散射角 θ 的分布图, 可以

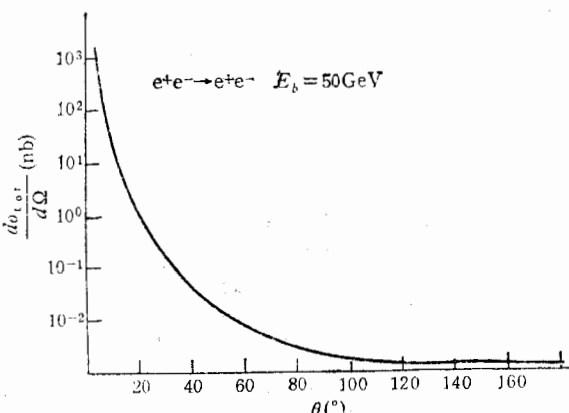


图 2 Bhabha 散射微分截面 $\frac{d\sigma_{\text{tot}}}{d\Omega}$ 随散射角 θ 的分布

看出, Bhabha 散射向前散射的峰是很尖锐的,而且在向前区,截面主要取决于 QED 截面。这在图 3 中看得很明显。图 3a,b 为不同束流能量 E_b 下 BHABHAZ 给出的弱修正 δ_w 随 θ 的分布,其中 $E_b = 20 \text{ GeV}$ 的 δ_w 与 Kleise 1983 年给出的结果符合得很好。从图 4 更清楚地知道,在 $\theta < 5^\circ$ 时, $|\delta_w| < 0.46\%$, 所以在 LEP/L3 亮度监测中,仍可以略去弱修正项。

图 5 给出总截面 σ 随质心系能量的变化,其中取 $\Delta E_b/E_b = 0.01$, $M_z = 93.2 \text{ GeV}$, $\Gamma = 2.92 \text{ GeV}$ 。图中可看出在 $E_b = \frac{1}{2} M_z$ 附近有一个明显的峰。

表 1a~1c 给出不同实验条件下 Z_0 峰的漂移,其定义为 $M_z - \sqrt{s}$ 。从表中可以看出,除了不同的 θ 积分限因素外,软光子修正对 Z_0 峰位的影响比硬光子大,这里硬光子的非共线角 δ 取为 L3 亮度监测系统的角分辨 0.12 mrad。

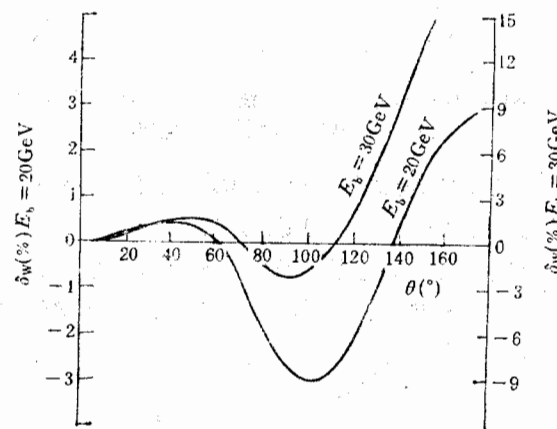
图 6 给出 LEP/L3 亮度监测系统对 Bhabha 散射的接收截面随质心系能量的变化。积分区域为 $\theta \in [30 \text{ mrad}, 62 \text{ mrad}]$, $\phi \in [0, 2\pi]$ 。若平均亮度 $L = 5 \times 10^{30} \text{ s}^{-1} \text{ cm}^{-2}$, 可以估计,在 $\sqrt{s} = 100 \text{ GeV}$ 时,在亮度监测器中每秒约 0.32 个 Bhabha 事例,要得到 1% 的统计精度,约需 8.7 小时。图中实线为 $e^+e^- \rightarrow e^+e^-\gamma_{\text{coll}}$, 虚线为 $e^+e^- \rightarrow e^+e^-$ 过

表 1a Z_0 峰位移 $\Delta E/E = 0.01$ $M_z = 93.2 \text{ GeV}$ $\Gamma = 2.92 \text{ GeV}$

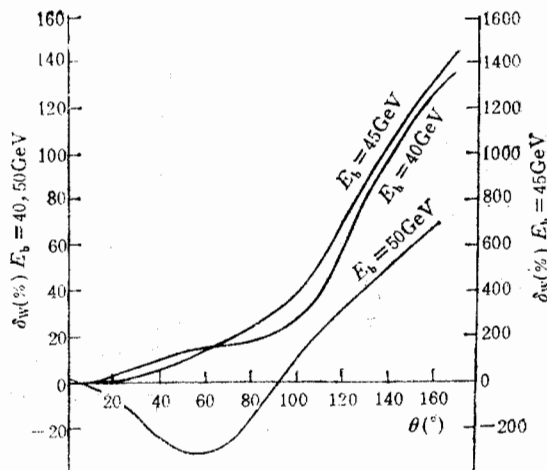
θ_{\min}	θ_{\max}	Z_0 峰位移			
		$\sigma_{\text{lowest}}(\text{nb})$	位移 (MeV)	$\sigma_{\text{tot}}(\text{nb})$	位移 (MeV)
1.0	179.0	396.32	410 ± 10	234.63	440 ± 10
3.0	177.0	46.29	280 ± 10	25.65	440 ± 10
5.0	175.0	18.45	60 ± 10	9.75	100 ± 10
10.0	170.0	6.41	0 ± 10	3.13	0 ± 10
30.0	150.0	1.98	-20 ± 10	0.88	-40 ± 10
50.0	130.0	1.10	-20 ± 10	0.48	-40 ± 10

表 1b Z_0 峰位移 $\Delta E/E = 0.1$ $M_Z = 93.2\text{GeV}$ $\Gamma = 2.92\text{GeV}$

θ_{\min}	θ_{\max}	Z_0 峰位移			
		$\sigma_{\text{lowest}} (\text{nb})$	位移 (MeV)	$\sigma_{\text{tot}} (\text{nb})$	位移 (MeV)
1.0	179.0	无峰		无峰	
3.0	177.0	45.33	280 ± 10	36.24	340 ± 10
5.0	175.0	17.54	60 ± 10	13.78	40 ± 10
10.0	170.0	5.69	0 ± 10	4.31	-60 ± 10
30.0	150.0	1.60	-20 ± 10	1.13	-60 ± 10
50.0	130.0	0.89	-20 ± 10	0.62	-60 ± 10



(a)



(b)

图 3 不同能量下 Bhabha 散射弱修正随 θ 角的分布

程, 非共线角取该监测系统的角分辨 0.12mrad .

图 7 为 LEP/L3 的亮度监测系统对 Bhabha 散射的接收截面 σ_{tot} 受硬光子非共线

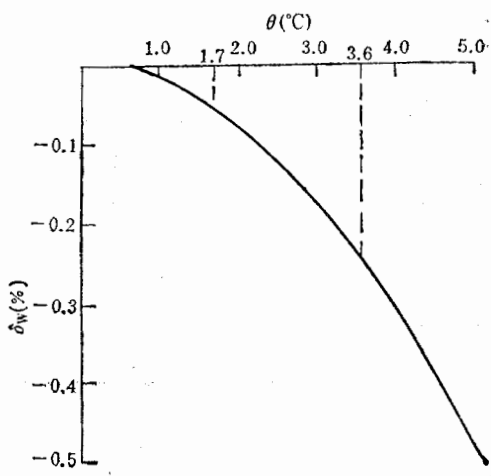


图 4 前向区 Bhabha 散射弱修正, 其中虚线 $1.7^{\circ}-3.6^{\circ}$ 为 LEP/L3 亮度监测系统对 Bhabha 过程的 θ 接收范围

角截断的影响曲线, 从图上可以清楚地看出, 共线硬光子(非共线角截断内的硬光子)对接截面的影响是显著的, 在实验中必须予以考虑。

BHABHAZ 产生的事例在误差范围内与 Bhabha 散射微分截面一致, 可以确认 BHABHAZ 中事例抽样是正确的, 抽样程序是可信的。在此事例产生器上, 可以进行进一步的物理工作*。

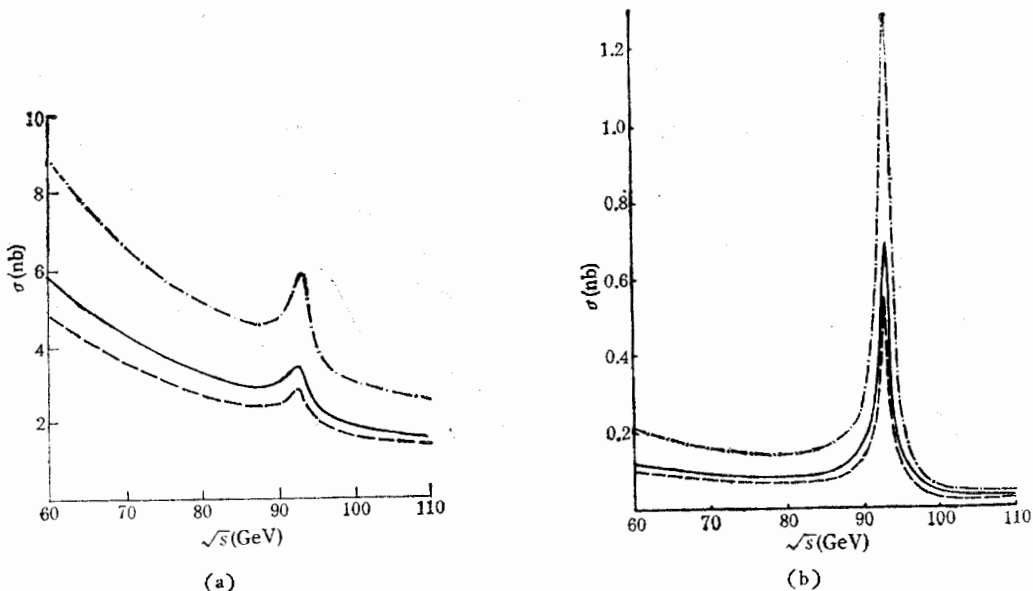


图 5 Bhabha 散射总截面随 s 的变化, 积分区域为 $(\theta_{min}, 180^{\circ} - \theta_{min})$, 点划线为最低阶截面, 即 $\int \sum d\sigma_e(i)$, 实线为 $\sigma_{tot}(e^+e^- \rightarrow e^+e^- \gamma_{coll})$, 虚线为 $\sigma_{tot}(e^+e^- \rightarrow e^+e^-)$, 图 5a 中 $\theta_{min} = 10^{\circ}$, 图 5b 中 $\theta_{min} = 50^{\circ}$

* 见本作者的另一篇文章《LEP/L3 亮度测量中的误差讨论》。

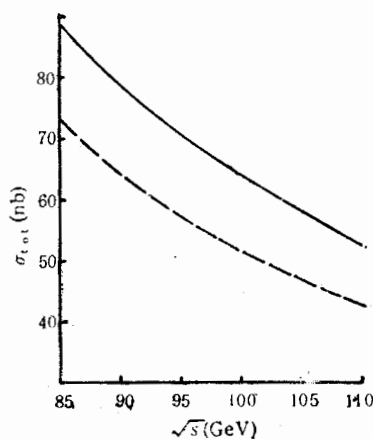


图 6 LEP/L3 亮度监测系统对 Bhabha 散射的接收截面随质心系能量的变化

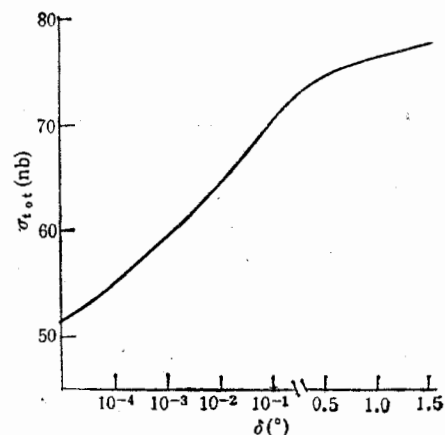


图 7 LEP/L3 亮度监测系统对 Bhabha 散射的接收截面 σ_tot 受硬光子非共线角截断 δ 的影响

表 1e Z_0 峰位移 $\Delta E/E = 0.01$ 包括共线硬光子效应

θ_{\min}	θ_{\max}	Z_0 峰位移			
		$\sigma_{\text{lowest}}(\text{nb})$	位移 (MeV)	$\sigma_{\text{tot}}(\text{nb})$	位移 (MeV)
1.0	179.0	396.32	440 ± 10	269.45	440 ± 10
3.0	177.0	46.29	280 ± 10	29.49	440 ± 10
5.0	175.0	18.45	60 ± 10	11.22	80 ± 10
10.0	170.0	6.41	0 ± 10	3.60	0 ± 10
30.0	150.0	1.98	-20 ± 10	1.01	-40 ± 10
50.0	130.0	1.10	-20 ± 10	0.55	-40 ± 10

参 考 文 献

- [1] M. Greco, *Phys. Lett.*, **B177**(1986), 97.
- [2] H. J. Bhabha, *Proc. Roy. Soc.*, **154A**(1935), 159.
- [3] M. L. G. Readhead, *Proc. Roy. Soc.*, **220A**(1953), 219.
- [4] R. V. Polovin, ZhETF(USSR) **31**(1956), 449; JETP(Soc. Phys.) **4**(1957), 385; Y. S. Tsai, *Phys. Rev.*, **120**(1960), 269; F. A. Berends, K. J. F. Gaemers & R. Gastmans, *Nucl. Phys.*, **B68**(1974), 541; E. Calva-Tellez, *Phys. Rev.*, **D8**(1973), 3856; W. Hollik, *Phys. Lett.*, **123B**(1983), 259.
- [5] D. Dicus, *Phys. Rev.*, **D8**(1973), 890; R. Budny & A. McDonald, *Phys. Rev.*, **D9**(1974), 3107; R. Budny, *Phys. Lett.*, **55B**(1975), 227.
- [6] W. Hollik & A. Zepeda, *Z. Phys.*, **C12**(1982), 67; H. A. Olsen & P. Osland, *Phys. Rev.*, **D25**(1982), 2895.
- [7] M. Consoli, *Nucl. Phys.*, **B160**(1979), 208.
- [8] F. A. Berends & R. Kleiss, *Nucl. Phys.*, **B228**(1983), 537.
- [9] M. Greco, G. Panzeri & Y. Srivastava, *Nucl. Phys.*, **B171**(1980); **B197**(1982), 543. (E)
- [10] G. Curci & M. Greco, *Phys. Lett.*, **B79**(1978), 406.

CALCULATION AND EVENTS GENERATION OF Bhabha SCATTERING AT LEP/SLC ENERGY

YE JINGBO MA WENGAN ZHANG ZIPING XU ZIZONG DAI QINGHAI

(*Modern Phys. Depart., Univ. of Scie. and Tech. of China, Hefei*)

ABSTRACT

We give here the one loop results of the numerical calculation and events generation of Bhabha scattering at LEP/SLC energy. EM radiative correction and hard collinear photon effect have been taken into consideration.